

## SUPPORTING INFORMATION II

### THE INFLUENCE OF SMALL HUMAN SETTLEMENTS ON MARINE LITTER IN THE NORTHEAST COAST OF BRAZIL

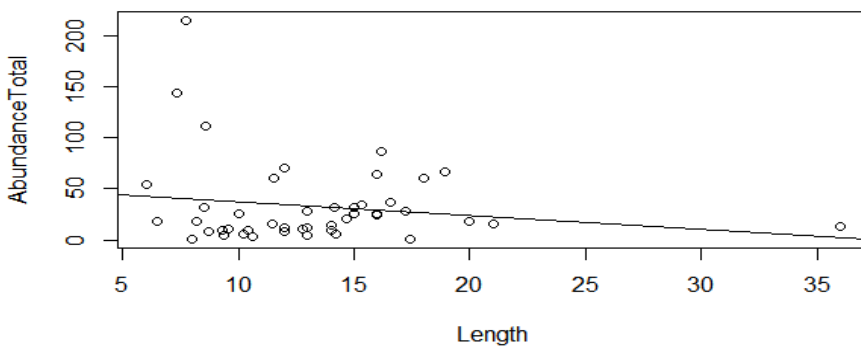


Figure 1. Relation between the abundance of macro residues found in the sampling points in the beach strip with the extension (in meters) of the area of these sites.

*Figura 1. Relação entre a abundância de macro resíduos, encontrados nos pontos de amostragem na extensão da praia, e a extensão da área desses locais.*

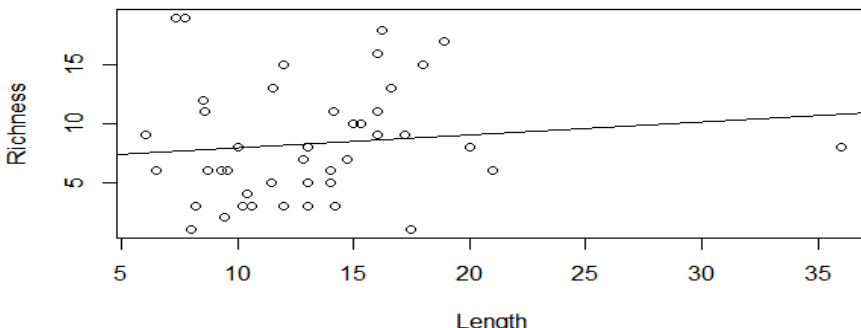


Figure 2. The relationship between the richness of macro residues (variety of residues) found at sample points in the beach strip with the extension (in meters) of the area of these sites.

*Figura 2. Relação entre a variedade dos resíduos, encontrados nos pontos de amostragem, e a extensão da área desses locais.*



Figure 3. Remote coast where part of the garbage was collected – picture taken in the region between Siribinha and Barra (Conde, BA - Brazil).

*Figura 3. Zona costeira remota onde foi recolhida uma parte dos resíduos amostrados - registo fotográfico tirado na região entre Siribinha e Barra (Conde, BA - Brasil).*



Figure 4. Litter associated with patches of wrecked vegetation.

*Figura 4. Resíduos associados a elementos de vegetação destruída.*

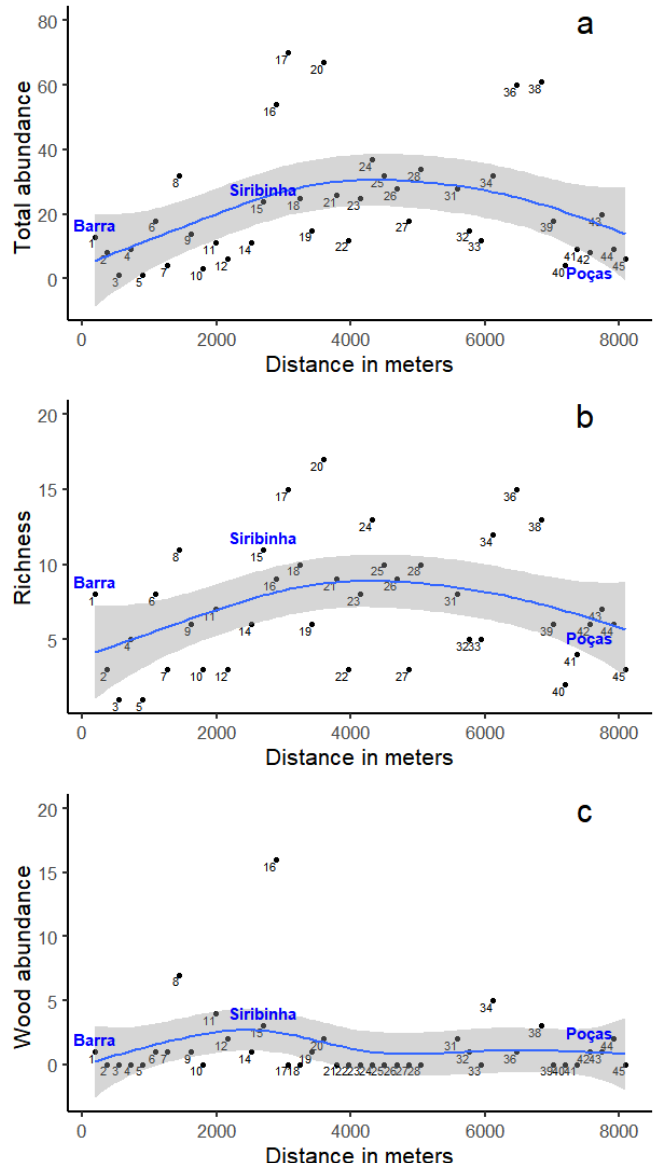


Figure 5. Distribution of macro residues ( $> 1 \text{ cm}$ ), excluding points with heaps of vegetation associated with garbage, along the beach stretch in a part of the coast of the municipality of Conde (BA). Normality ( $p = 0.07$ ), homogeneity ( $p > 0.50$ ) and bias test (richness  $p = 0.08$ , abundance total  $p = 0.58$ ). A) Distribution of total abundance of macro residues ( $p = 0.02 R^2 = 0.20$ ). B) Distribution of richness of macro residues ( $p = 0.05 R^2 = 0.16$ ). C) Distribution of abundance of wood. D) Distribution of the abundance of metal. E) Distribution of abundance of plastic ( $p = 0.01 R = 0.23$ ).

*Figura 5. Distribuição de macro resíduos ( $> 1\text{cm}$ ), excluindo pontos com amontoados de vegetação associado a lixo, ao longo da linha de praia na costa do município de Conde (BA). Normalidade ( $p=0.07$ ), homogeneidade ( $p>0.50$ ) e teste de viés (variedade  $p=0.08$ , abundância total  $p=0.58$ ). A) Distribuição da abundância total de macro-resíduos ( $p=0.02 R^2 = 0.20$ ). B) Distribuição da variedade total de macro-resíduos ( $p=0.05 R^2 = 0.16$ ). C) Distribuição da abundância de madeira. D) Distribuição da abundância de metal. E) Distribuição da abundância de plástico ( $p=0.01 R^2 = 0.23$ ).*

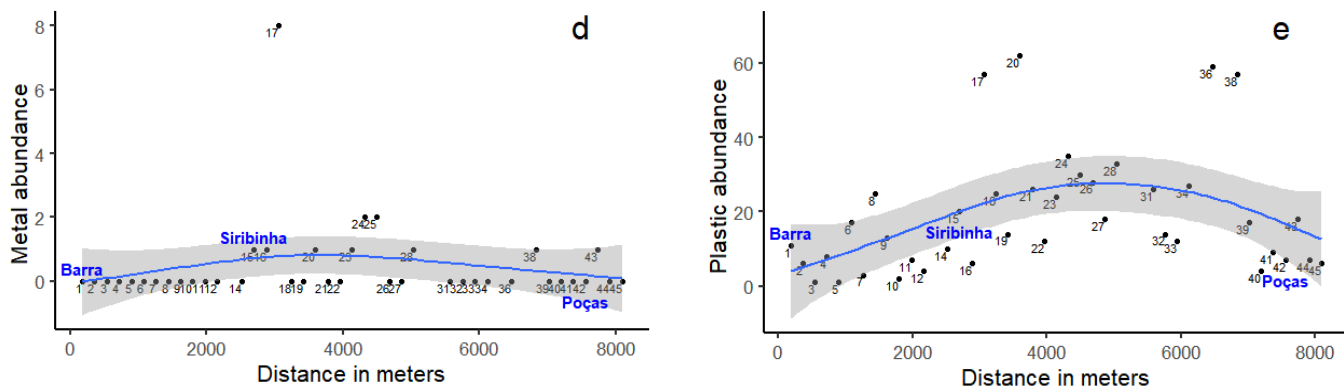


Figure 5. Distribution of macro residues ( $> 1\text{ cm}$ ), excluding points with heaps of vegetation associated with garbage, along the beach stretch in a part of the coast of the municipality of Conde (BA). Normality ( $p = 0.07$ ), homogeneity ( $p > 0.50$ ) and bias test (richness  $p = 0.08$ , abundance total  $p = 0.58$ ). A) Distribution of total abundance of macro residues ( $p = 0.02 R^2 = 0.20$ ). B) Distribution of richness of macro residues ( $p = 0.05 R^2 = 0.16$ ). C) Distribution of abundance of wood. D) Distribution of the abundance of metal. E) Distribution of abundance of plastic ( $p = 0.01 R = 0.23$ ).

*Figura 5. Distribuição de macro resíduos ( $> 1\text{ cm}$ ), excluindo pontos com amontoados de vegetação associado a lixo, ao longo da linha de praia na costa do município de Conde (BA). Normalidade ( $p=0.07$ ), homogeneidade ( $p>0.50$ ) e teste de viés (variedade  $p=0.08$ , abundância total  $p=0.58$ ). A) Distribuição da abundância total de macro-resíduos ( $p=0.02 R^2 = 0.20$ ). B) Distribution da variedade total de macro-resíduos ( $p=0.05 R^2 = 0.16$ ). C) Distribuição da abundância de madeira. D) Distribuição da abundância de metal. E) Distribuição da abundância de plástico ( $p=0.01 R^2 = 0.23$ ).*